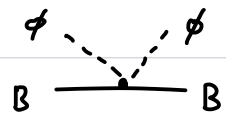


§ 5 カイラル動力学とハドロン散乱

5.1 $\bar{K}N$ 相互作用

カイラル機動論の主要項

$$\mathcal{L}_{WT} = Tr \left(\bar{B} \gamma^\mu \frac{i}{4f^2} [\phi \overleftrightarrow{\partial}_\mu \phi, B] \right)$$



$$B = \begin{pmatrix} \frac{1}{f_2} \Sigma^0 + \frac{1}{f_6} \Lambda & \Sigma^+ & p \\ \Sigma^- & -\frac{1}{f_2} \Sigma^0 + \frac{1}{f_6} \Lambda & n \\ \Xi^- & \Xi^0 & -\frac{2}{f_6} \Lambda \end{pmatrix}$$

$$\phi = \begin{pmatrix} \frac{1}{f_2} \pi^0 + \frac{1}{f_6} \eta & \pi^+ & K^+ \\ \pi^- & -\frac{1}{f_2} \pi^0 + \frac{1}{f_6} \eta & K^0 \\ K^- & \bar{K}^0 & -\frac{2}{f_6} \eta \end{pmatrix}$$

f : メソン崩壊定数 $\sim 92 \text{ MeV}$

- 運動項の共変微分から出る。

→ 低エネルギー一定数(バリオンに固有の)を持たない

c. f. 湯川項 D, F

→ 相互作用の強さ、符号(引力/斥力)が
カイラル対称性から決まっている!

- $i \alpha_{\mu||} \sim$ ベクトルカレント

カレント代数の言葉ではベクトルカレントの保存 $\rightarrow g_\nu = 1$

相互作用の計算

例として $\bar{K}_p \rightarrow \bar{K}_p$ 過程を考える。

\mathcal{L}_{WT} の T_r を展開すると 様々な項が出る。ここで必要なのは

$$\mathcal{L}_{WT} = \frac{1}{4f^2} \left[\dots - 2 \left\{ \bar{p}(i \not p k^+) \bar{K}_p - \bar{p} k^+ (i \not p k^-) p \right\} + \dots \right]$$

$$\begin{cases} \text{始状態: } \bar{K} \text{の運動量 } q_i & | \bar{K}(q_i) p \rangle \\ \text{終状態: } \bar{K} \text{の運動量 } q_f & \langle \bar{K}(q_f) p | \end{cases}$$

で 行列要素をとると

$$\begin{aligned} V_{\bar{K}_p \rightarrow \bar{K}_p}^{WT} &= - \langle \bar{K}(q_f) p | \mathcal{L}_{WT} | \bar{K}(q_i) p \rangle \\ &= - \frac{-2}{4f^2} \left[\langle \bar{K}_p | \bar{p}(i \not p k^+) \bar{K}_p | \bar{K}_p \rangle - \langle \bar{K}_p | \bar{p} k^+ (i \not p k^-) p | \bar{K}_p \rangle \right] \\ &= \frac{2}{4f^2} \left[\bar{u}_p i(i \not q_f) u_p - \bar{u}_p i(-i \not q_i) u_p \right] \\ &= - \frac{2}{4f^2} \bar{u}_p (q_f + q_i) u_p \end{aligned}$$

標準表示での "1ラウフ" 行列と 行列

$$u(p, s) = \sqrt{\frac{E+m}{2m}} \begin{pmatrix} \chi_s \\ \frac{\sigma \cdot p}{E+m} \chi_s \end{pmatrix} \leftarrow \text{1.さい} \quad r^0 = \begin{pmatrix} 1 & 0 \\ 0 & -1 \end{pmatrix}, \quad r^i = \begin{pmatrix} 0 & \sigma^i \\ -\sigma^i & 0 \end{pmatrix}$$

非相対論展開で 主要項は r^0 の項

$$V_{\bar{K}_p \rightarrow \bar{K}_p}^{WT} = - \frac{2}{4f^2} (q_i^0 + q_f^0) \frac{E+m}{2m} \chi_s^+ \chi_s$$

- 相互作用がメソンのエネルギー- q^0 に比例
- 系数 2: このチャネルの相互作用強度

チャネル結合相互作用

k^-p と同じ量子数を持つ $\bar{K}^0 n$, $\pi^0 \Sigma^0$, $\pi^+ \Sigma^-$, $\pi^- \Sigma^+$, ... は L_{WT} でうつり合う。MB チャネルを添字 i,j であらわすと

$$V_{ij}^{WT} = -\frac{C_{ij}}{4f} \bar{u} (\gamma_i + \gamma_j) u$$

$$C_{ij} = \begin{pmatrix} 2 & 1 & \frac{1}{2} & 0 & 1 \\ & 2 & \frac{1}{2} & 1 & 0 \\ & & 0 & 2 & 2 \\ & & & 2 & 0 \\ & & & & 2 \end{pmatrix} \begin{array}{l} k^- p \\ \bar{K}^0 n \\ \pi^0 \Sigma^0 \\ \pi^+ \Sigma^- \\ \pi^- \Sigma^+ \end{array}$$

上と同様の計算、または $SU(3)$ isoscalar factor で計算 [HJ 2012]

問 5 結合定数をアイソスピニ基底に直し、 $I=0$ 成分が

$$C_{ij} = \begin{pmatrix} 3 & -\sqrt{3/2} \\ & 4 \end{pmatrix} \begin{array}{l} \bar{K}N (I=0) \\ \pi\Sigma (I=0) \end{array}$$

となることを示せ。ただし、アイソスピニ状態は

$$|\pi^+\rangle = -|I=1, I_3=1\rangle$$

$$|\Sigma^+\rangle = -|1, 1\rangle$$

$$|K^-\rangle = -|\frac{1}{2}, -\frac{1}{2}\rangle$$

と符号つきでアサインされる。

注) $\bar{K}N$, $\pi\Sigma$ チャネルともに引力相互作用 ($c>0$, $v<0$)

5.2 相互作用の強さと非摂動的振幅

WT 相互作用の強度

$$C_{\bar{K}N(I=0)} = 3, \quad C_{\pi\Sigma(I=0)} = 3, \quad C_{\pi N(I=\frac{1}{2})} = 2 \quad (\text{全て引力})$$

実際には $V_i^{WT} \propto -C g_i^0$ 閾値では $g_i^0 \rightarrow m_i$ (\times ソン質量)

	$\bar{K}N(I=0)$	$\pi\Sigma(I=0)$	$\pi N(I=\frac{1}{2})$
$C m_i$	$3m_K \sim 1485 \text{ MeV}$	$4m_\pi \sim 560 \text{ MeV}$	$2m_\pi \sim 280 \text{ MeV}$

$$\Rightarrow |V_{\bar{K}N}^{WT}| \gg |V_{\pi\Sigma}^{WT}| \gg |V_{\pi N}^{WT}|$$

$\Lambda(1405)$ に関係する MB 相互作用は 強い引力

- ストレンジネスの特性

$$\begin{cases} V_{\bar{K}N}^{WT} \propto m_{\bar{K}} : \text{ストレンジ"ク"で } m_{\bar{K}} \text{ が大きい} \\ C_{\pi\Sigma} = 4 : SU(3) \text{ 群の性質, } SU(2) \text{ では出ない} \end{cases}$$

- SSB / explicit 破れの競合

$$\begin{cases} V^{WT} \text{ がエネルギーに比例: } \bar{K} \text{ が NG ボソン (SSB)} \\ m_{\bar{K}} \text{ が大きく相互作用が強い: explicit 破れ} \end{cases}$$

- 臨界結合定数 [HJH 2006]

束縛状態を作るのに必要な引力の強さ

$$C_{\text{crit}} = \frac{2f^2}{m_{NG} [-G(M+m_{NG})]}$$

$\bar{K}N$: $C_{\text{crit}} \sim 1.8 < C_{\bar{K}N}$, $\pi\Sigma, \pi N$ は $C_{\text{crit}} > C_i$

→ $\bar{K}N$ (準)束縛状態としての $\Lambda(1405)$, 非摂動振幅

7. ワインマン図の足し上げ

V^{WT} :  を用いた $M\bar{B} \rightarrow M\bar{B}$ 振幅

$$\text{図示} = \text{図示} + \text{図示} + \text{図示} + \dots) \quad \textcircled{A}$$

$$+ \text{図示} + \dots) \quad \textcircled{B}$$

$$+ \text{図示} + \text{図示} + \dots) \quad \textcircled{C}$$

図3のEFTと異なり全てのdiagramが寄与。

Ⓐ: 質量 $\ll m \rightarrow$ 物理的質量を用いることで effective に取り込む

Ⓑ: crossed diagrams ($s \leftrightarrow u$) 関値近傍で効かないとして無視。

Ⓐの足し上げは図3と同様に

$$T = V + VGV + VGVGV + \dots$$

$$G \sim \text{図示}$$

$$= V + VGT$$

- 長所
 - 振幅 T はユニタリ-性を満たす。
 - 共鳴、束縛状態を動的に生成できる

注) どちらもカイラル規則論では不可

- 短所
 - T は交差対称性、power counting を満たさない
 - $\ll m$ 不可: $L - \Gamma G$ にカットオフ \rightarrow 実験に fit

V^{WT} を用いた数値計算結果 [IHW 2011]

- 結合4チャンネル: $\bar{K}N$, $\pi\Sigma$, $\pi\Lambda$, $\eta\Lambda$, $\eta\Sigma$, $K\Sigma$
- パラメータ: チャンネル毎の subtraction constant (\approx UVカットオフ) 6つ

最新の実験データ(後述)に対し χ^2 fit を行う。

$$\Rightarrow \chi^2/\text{d.o.f} = 1.12$$

カイラル相動論の主要項のみで十分な記述が可能

散乱振幅の解析接続: $\Lambda(1405)$ の極

$$\Rightarrow Z_{\text{High}} = 1422 - 16i \text{ MeV}, \quad Z_{\text{Low}} = 1384 - 90i \text{ MeV}$$

対応するエネルギー領域に極が2つ存在

注) $\pi\pi$ 位相差が $\pi/2$ を切るのは1回だけ、スペクトルのピーコも1つ

Two-pole structure [MH 2015]

- SU(3) 基底 [J00RM 2003]

フレーバー-SU(3) 極限での 1と8の引力が起源

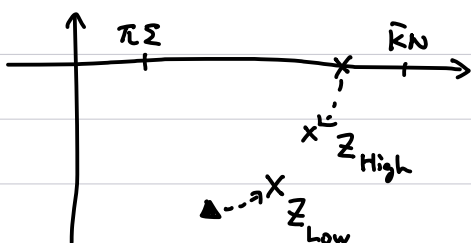
チャンネルとの結合(極の留数) $Z_{\text{High}} \rightarrow \bar{K}N$, $Z_{\text{Low}} \rightarrow \pi\Sigma$

$\Rightarrow \pi\Sigma$ スペクトルが反応過程に依存

- アイソスピノン基底 [HW 2008]

$V_{\bar{K}N} \propto -3m_K \rightarrow$ 束縛 \times

$V_{\pi\Sigma} \propto -4m_\pi \rightarrow$ 共鳴 \blacktriangle



5.3 PDCの解析 [IHW 2011]

$\Lambda(1405)$ 領域の実験データ

① $K^- p$ 散乱全断面積 $\rightarrow K^- p, \bar{K}^0 n, \pi^0 \Sigma^0, \pi^+ \Sigma^-, \pi^- \Sigma^+, \pi^0 \Lambda$

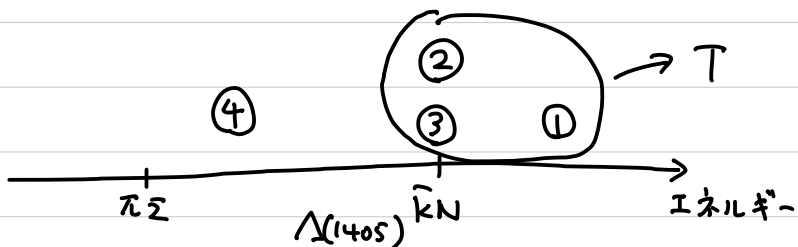
- 60年代の泡箱実験，誤差もそれなり
- $\bar{K}N$ 関値より上のエネルギー領域のデータ $\sim \mathcal{O}(100)$ points

② 関値分岐比 ρ, R_n, R_c

- stopped K^- 実験，比較的誤差が近い（比なので）
- $\bar{K}N$ 関値上のデータ

③ K 中間子原子のレベルシフト ΔE と幅 Γ

- ツーロン相互作用による束縛状態
- $1S$ 状態に強い相互作用の影響 $\rightarrow \Delta E, \Gamma$
- $K^- p$ 散乱長と関係： $\bar{K}N$ 関値上のデータ
- 高精度の測定 [SIIDDHARTA 2011]



注) これ以外に ④ $\pi\Sigma$ スペクトル が $\bar{K}N$ 関値以下の領域のデータ

$$\gamma p \rightarrow K^+ \underline{\pi\Sigma}, \quad p p \rightarrow K^+ p \underline{\pi\Sigma}, \quad \bar{K}d \rightarrow n \underline{\pi\Sigma} \quad \text{など}$$

があるが、反応モデルが必要であり直接 T を決められない。

NLO カイラル SU(3) 動力学

V_{WT} を カイラル 振動論で 改良

$$V = \text{WT 項} + \text{Born 項} + \text{NLO 項}$$

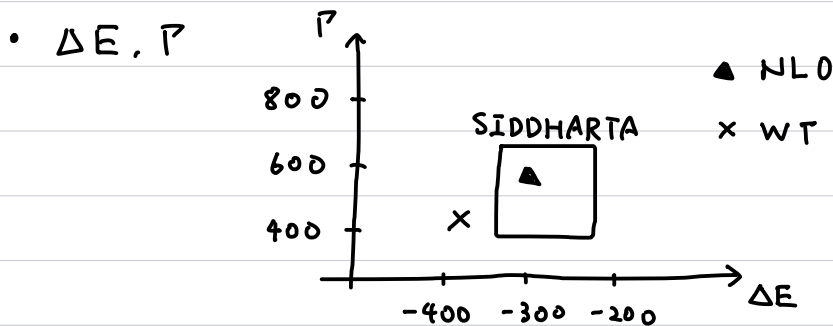
$$\mathcal{O}(p) \quad \mathcal{O}(p) \quad \mathcal{O}(p^2)$$

- Born 項の s 波成分は WT に比べ 非相対論展開の高次
- Born 項の 低エネルギー一定数 : D, F \leftarrow ハイペロン崩壊で決定
- NLO 項の 低エネルギー一定数 7つ : パラメータ
- χ^2 fit

7 LEC + 6 subtraction constants $\rightarrow \mathcal{O}(100) \bar{\tau}\text{-タ点 } \textcircled{1}, \textcircled{2}, \textcircled{3}$

$$\Rightarrow \chi^2/\text{d.o.f.} = 0.96$$

この極の位置が PDG に記載



\rightarrow WT でも十分だが SIDDHARTA の精度を合わせるには NLO が 必要。

- 他グループの解析との比較 [MH 2015]

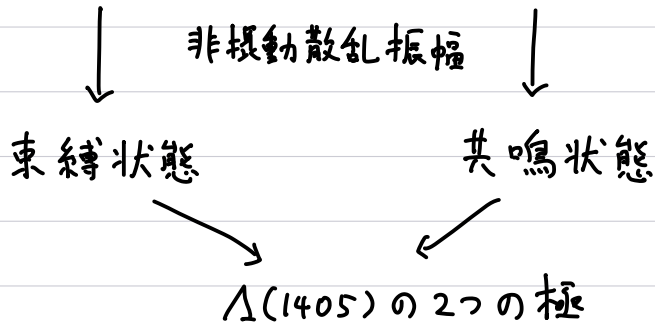
Z_{High} の位置は 小さい領域に収束

Z_{Low} は "sizable scatter" $\leftarrow \bar{\tau}\text{-タから遠い}$

§5のまとめ

- ・低エネルギー- $\pi\pi$ 相互作用 (WT項)

$$V_{\bar{K}N} \propto -3m_K, \quad V_{\pi\Sigma} \propto -4m_\pi$$



- ・NLO でのデータ解析 → PDG の $\Lambda(1405)$ 極の決定